



# БИООРГАНИЧЕСКАЯ ХИМИЯ

том 9 \* № 10 \* 1983

УДК 577.412.4

## ХИМИЧЕСКИЕ СВОЙСТВА НОВЫХ АФФИННЫХ РЕАГЕНТОВ — СМЕШАННЫХ АНГИДРИДОВ АМР, АДР И АТР С МЕЗИТИЛЕНКАРБОНОВОЙ КИСЛОТОЙ

*Третьякова С.С., Соколова Н.И., Шабарова З.А.*

*Московский государственный университет им. М. В. Ломоносова*

Изучена гидролитическая устойчивость смешанных ангидридов АМР, АДР и АТР с мезитиленкарбоновой кислотой  $(\text{MsCO})_{p_{1-3}A}$  и их реакции с нуклеофильными реагентами в органической и водной средах. В  $(\text{MsCO})_{p_2A}$  и  $(\text{MsCO})_{p_3A}$  обнаружена повышенная по сравнению с АДР и АТР электрофильтность не только концевых, но и внутренних фосфатных групп. Полученные данные важны при интерпретации аффинной модификации ферментов с помощью  $(\text{MsCO})_{p_{2,3}A}$ .

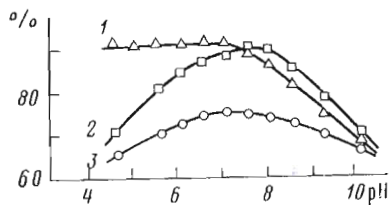
Смешанные ангидриды АМР, АДР и АТР с мезитиленкарбоновой кислотой  $(\text{MsCO})_{p_{1-3}A}$  используются в качестве аффинных реагентов АТР-зависимых ферментов [1–3]. Ранее нами было показано [4], что эти производные аденоzin-5'-моно- и полифосфатов весьма устойчивы в водных растворах при значениях рН, близких к нейтральным, а в реакциях с нуклеофильными агентами являются исключительно фосфорилирующими агентами, т. е. способны переносить остаток нуклеотида на различные амины, спирты или меркаптаны с одновременным освобождением в результате реакции мезитиленкарбоновой кислоты. На основании этих модельных экспериментов можно предположить, что вызванное смешанными ангидридами необратимое ингибирование ферментов [1–3] обусловлено фосфорилированием нуклеофильных групп в их активных центрах. Это предположение подтверждается данными по включению радиоактивной метки в митохондриальную АТР-азу [5] или триптофанил-тРНК-синтетазу [6] при необратимом ингибировании этих ферментов с помощью меченных по аденоzinу  $(\text{MsCO})_{p_3}[^3\text{H}]A$  или  $(\text{MsCO})_p[^{14}\text{C}]A$  соответственно.

Следует отметить, что фосфорилирующая способность  $(\text{MsCO})_{p_{1-3}A}$ , весьма умеренная в водных средах [4], резко повышается при контакте с АТР- зависимыми ферментами, что, вероятно, объясняется эффектом пространственного сближения реагирующих группировок при образовании фермент-ингибиторных комплексов. По сравнению с другими аффинными реагентами нуклеотидной природы важным преимуществом  $(\text{MsCO})_{p_{1-3}A}$  является их способность реагировать с нуклеофильными группами ферментов активированными фосфатными остатками АМР, АДР или АТР, т. е. непосредственно группами субстратов.

Сочетание указанных выше качеств позволяет считать  $(\text{MsCO})_{p_{1-3}A}$  весьма перспективными аффинными реагентами, что, в свою очередь, вызывает необходимость детального изучения их химических свойств.

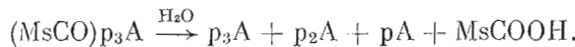
Для понимания механизма ингибирования ферментов, вызванного коvalентным закреплением нуклеотидов в активных центрах при использовании  $(\text{MsCO})_{p_2A}$  и  $(\text{MsCO})_{p_3A}$ , прежде всего необходимо оценить электрофильтные свойства фосфатных групп, входящих в их состав. Присоединение  $\text{MsCO}$ -группировки к концевым фосфатам АДР и АТР изменяет распределение электронной плотности всей полифосфатной цепи. Для выявления этого эффекта был изучен гидролиз  $(\text{MsCO})_{p_2A}$  и  $(\text{MsCO})_{p_3A}$  в буферных растворах (рН 4,5–10,1), 1 н.  $\text{HCl}$  и 1 н.  $\text{NaOH}$ , а также проведены реакции в органической и водной средах с различными нуклеофильными реагентами, содержащими функциональные группы, часто-

Содержание  $(\text{MsCO})\text{pA}$  (1),  
 $(\text{MsCO})\text{p}_2\text{A}$  (2) и  $(\text{MsCO})\text{p}_3\text{A}$   
(3) в гидролизатах при  $\text{pH}$  4–  
10,1 через 15 сут ( $37^\circ\text{C}$ )



встречающиеся в активных центрах ферментов. Для сравнения аналогичные реакции были проведены с  $(\text{MsCO})\text{pA}$ . Реакционные смеси анализировали методом хроматографии на бумаге после отбора проб через определенные промежутки времени.

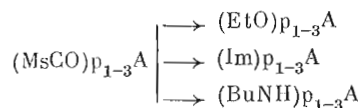
При выдерживании  $10^{-2}$  М растворов  $(\text{MsCO})\text{p}_{1-3}\text{A}$  в буферах с  $\text{pH}$  от 4,5 до 10,1 наблюдался гидролиз не только смешанно-ангидридных, но и пироfosfatных связей  $(\text{MsCO})\text{p}_2\text{A}$  и  $(\text{MsCO})\text{p}_3\text{A}$ . Например, схему гидролиза  $(\text{MsCO})\text{p}_3\text{A}$  можно представить так:



Из кривых гидролиза  $(\text{MsCO})\text{p}_{1-3}\text{A}$ , приведенных на рис. 1, следует, что устойчивость  $(\text{MsCO})\text{pA}$  уменьшается по мере возрастания  $\text{pH}$ .  $(\text{MsCO})\text{p}_2\text{A}$  и  $(\text{MsCO})\text{p}_3\text{A}$  наиболее устойчивы в нейтральной и близких к нейтральной средах и в большей степени (по сравнению с  $(\text{MsCO})\text{pA}$ ) гидролизуются в кислых и щелочных средах. Наименее устойчивым в интервале  $\text{pH}$  4,5–10,1 из трех смешанных ангидридов оказался  $(\text{MsCO})\text{p}_3\text{A}$ . При  $4,5 < \text{pH} < 7$  наиболее устойчив  $(\text{MsCO})\text{pA}$ , а при  $7 < \text{pH} < 10,1$  –  $(\text{MsCO})\text{p}_2\text{A}$ .

В 1 н. HCl при  $37^\circ\text{C}$   $(\text{MsCO})\text{pA}$  гидролизовался полностью за 10 ч,  $(\text{MsCO})\text{p}_2\text{A}$  – за 7 ч,  $(\text{MsCO})\text{p}_3\text{A}$  – за 5 ч. В этих условиях смешанно-ангидридные связи в  $(\text{MsCO})\text{p}_2\text{A}$  и  $(\text{MsCO})\text{p}_3\text{A}$  гидролизуются также в большей степени, чем пироfosfatные связи. Кроме того, в 1 н. HCl наблюдается апуринизация  $(\text{MsCO})\text{p}_{1-3}\text{A}$ , которая за 1 сут достигает 16–20%.

При гидролизе  $(\text{MsCO})\text{p}_{1-3}\text{A}$  в 1 н. NaOH наряду с adenозин-5'-моно- и полифосфатами были обнаружены новые соединения, которым была присуждена структура 2'(3')-O-мезитоилированных производных AMP, ADP и ATP. В 1 н. NaOH ( $\text{pH} > 12$ ), когда гидроксильные группы рибозы в значительной степени диссоциированы, представляется вполне вероятным внутримолекулярный перенос MsCO-групп с фосфата на рибозу. Хроматографические и электрофоретические характеристики образовавшихся в щелочных гидролизатах продуктов совпадали с характеристиками 2'(3')-O-мезитоил-AMP и 2'(3')-O-мезитоил-ATP, полученных встречным синтезом из AMP и ATP соответственно по методу [7]. Следует отметить, что количество 2'(3')-O-мезитоилированных производных AMP, ADP и ATP в щелочных гидролизатах постепенно возрастают, через 4 ч достигают максимальной величины – 24, 30 и 50% соответственно, а затем уменьшаются. Это, очевидно, объясняется тем, что параллельно с переносом ацильной группы и образованием 2'(3')-O-мезитоильных производных AMP, ADP и ATP начинается гидролиз этих соединений, которые, как и другие 2'(3')-O-ацилнуклеотиды [7], неустойчивы в щелочной среде и расщепляются по сложноэфирной связи. Через 1 сут в гидролизатах обнаруживается только AMP и незначительные количества ADP и ATP. В абсолютном диметилформамиде реакции нуклеофильного замещения с этиловым спиртом, бутиламином, имидазолом протекали с высокими выходами только по активированным концевым фосфатным группам  $(\text{MsCO})\text{p}_2\text{A}$  и  $(\text{MsCO})\text{p}_3\text{A}$ :



Эти реакции проводили при  $37^\circ\text{C}$ , используя 100-кратные избытки аминов и 800-кратный избыток этилового спирта.

Таблица 1

Состав реакционных смесей после взаимодействия  $(\text{MsCO})_{p_{2,3}A}$  с аминами (100-кратные избытки) в воде в течение 3 ч при 37°C

Реагирующие компоненты	Образовавшиеся фосфоамиды (содержание, %)	Продукты гидролиза (содержание, %)	
$(\text{MsCO})_{p_2A} + \text{BuNH}_2$	(BuNH) $p_2A$ (35)	ADP	(52)
	(BuNH) $pA$ (13)	AMP	
$(\text{MsCO})_{p_3A} + \text{BuNH}_2$	(BuNH) $p_3A$ (41)	ATP	
	(BuNH) $p_2A$ (12)	ADP	(44)
$(\text{MsCO})_{p_2A} + \text{Im}$	(BuNH) $pA$ (3)	AMP	
	(Im) $p_2A$ (69)	ADP	(21)
$(\text{MsCO})_{p_3A} + \text{Im}$	(Im) $pA$ (10)		
	(Im) $p_3A$ (70)	ATP	(18)
	(Im) $p_2A$ (8)		
	(Im) $pA$ (4)		

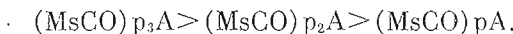
Таблица 2

Константы скоростей реакций  $(\text{MsCO})_{p_{1-3}A}$  с различными нуклеофилами

Смешанный ангидрид	Нуклеофил	Растворитель	$k \cdot 10^7, \text{ с}^{-1}$	$t_{1/2}, \text{ ч}$
$(\text{MsCO})_{pA}$	BuNH <sub>2</sub>	DMF	1190	1,6
$(\text{MsCO})_{p_2A}$	«	«	1380	1,4
$(\text{MsCO})_{p_3A}$	«	«	1780	1,1
$(\text{MsCO})_{pA}$	Im	«	1040	4,9
$(\text{MsCO})_{p_2A}$	«	«	1240	1,5
$(\text{MsCO})_{p_3A}$	«	«	1580	1,2
$(\text{MsCO})_{pA}$	EtOH	«	7,5	257
$(\text{MsCO})_{p_2A}$	«	«	12,2	158
$(\text{MsCO})_{p_3A}$	«	«	16,7	115
$(\text{MsCO})_{pA}$	H <sub>2</sub> O	pH 4,5 *	1,0	1925
$(\text{MsCO})_{p_2A}$	«	«	3,7	520
$(\text{MsCO})_{p_3A}$	«	«	5,2	370
$(\text{MsCO})_{pA}$	«	pH 7,0 *	1,1	1750
$(\text{MsCO})_{p_2A}$	«	«	1,5	1283
$(\text{MsCO}_3)_{p_3A}$	«	«	4,3	447
$(\text{MsCO})_{pA}$	OH	pH 10,1 *	3,9	494
$(\text{MsCO})_{p_2A}$	«	«	3,8	506
$(\text{MsCO})_{p_3A}$	«	«	4,9	392

\* Фосфатный буфер.

В водной среде  $(\text{MsCO})_{p_{1-3}A}$  не реагируют с этиловым спиртом, а с бутиламином и имидазолом  $(\text{MsCO})_{p_{2,3}A}$  реагируют не только концевыми, но и внутренними фосфатными группами. Параллельно с синтезом фосфоамидов наблюдается гидролиз  $(\text{MsCO})_{p_{2,3}A}$  с образованием аденоzin-5'-моно- и полифосфатов. Из данных, приведенных в табл. 1, видно, что по реакционной способности фосфатные группы, входящие в состав  $(\text{MsCO})_{p_{2,3}A}$ , можно расположить следующим образом:  $p^b \gg p^a; p^r > p^b > p^a$ . Для сравнения степени активации концевых фосфатных групп AMP, ADP и ATP в составе их смешанных ангидридов с мезитиленкарбоповой кислотой были определены константы гидролиза  $(\text{MsCO})_{p_{1-3}A}$ , а также реакций этих смешанных ангидридов с бутиламином, имидазолом и этиловым спиртом в диметилформамиде. Согласно табл. 2, по реакционной способности концевых фосфатов смешанные ангидриды располагаются в следующий ряд:



Эта закономерность не соблюдается только для одного случая — гидролиза при pH 10,1, так как при этом в качестве нуклеофила выступает отрицательно заряженный гидроксильный ион; с ним  $(\text{MsCO})_{pA}$  реагирует несколько быстрее, чем с  $(\text{MsCO})_{p_2A}$ , видимо, вследствие большего электростатического отталкивания последнего.

Обнаруженная способность  $(\text{MsCO})_{p_2A}$  и  $(\text{MsCO})_{p_3A}$  реагировать с

аминами в водной среде не только концевыми, но и внутренними фосфатными группами указывает на определенную степень активации этих фосфатов. По-видимому, в активных центрах ферментов  $(MsCO)_{p_2,3}A$  могут реагировать как концевыми, так и внутренними фосфатными группами, причем эффективность взаимодействия последних благодаря пространственной сближенности реагирующих группировок будет неизмеримо выше, чем в растворе. Какая из фосфатных групп  $(MsCO)_{p_2,3}A$  обеспечит ковалентное закрепление нуклеотида в активном центре фермента, будет определяться стерическими факторами — расположением функционально значимой нуклеофильной группы фермента относительно полифосфатной цепи  $(MsCO)_{p_2,3}A$ , используемого в качестве аффинного реагента.

### Экспериментальная часть

В работе использованы AMP, ADP и ATP фирмы Serva (ФРГ). БХ проводили на бумаге FN-1 в системе этанол — 1 М ацетат аммония (7 : 3). Вертикальный электрофорез проводили в 0,05 М триэтиламмоний-бикарбонатном буфере (рН 7,5) в течение 1,5 ч при напряжении 35–40 В/см на приборе Labor (Венгрия).

УФ-поглощение растворов определяли на спектрофотометре Specord UV-VIS (ГДР). Константы скоростей реакций рассчитывали по работе [8].  $(MsCO)_{p_1-3}A$  синтезировали по методике [9].

*Определение гидролитической устойчивости*  $(MsCO)_{p_1-3}A$  проводили в 0,1 М фосфатных буферах (рН 4,5; 5,5; 6,0; 6,5; 7,0; 7,5; 8,0; 9,3; 10,1). Раствор 4 мкмоль (42 ОЕ<sub>260</sub>) вещества в 0,6 мл буфера инкубировали в термостате при 37° С, через 1, 2, 5, 8 и 15 сут отбирали аликовты по 0,12 мл и хроматографировали их с соответствующими заведомыми образцами. Аналогично проводили гидролиз  $(MsCO)_{p_1-3}A$  1 н. HCl, отбирая пробы для анализа через 1, 2, 3, 4, 5, 7, 10, 18 и 24 ч. Через 3 ч в гидролизатах всех трех соединений обнаруживали небольшие количества аденина ( $R_f$  0,75,  $U_{PL}=0$ ). Через 1 сут количество аденина достигало 20%.

*Щелочной гидролиз*  $(MsCO)_{p_1-3}A$  проводили 1 н. NaOH по аналогичной методике. В гидролизате  $(MsCO)_{p_1}A$  обнаружили 2'(3')-O-мезитоил-AMP ( $R_f$  0,54), а в гидролитах  $(MsCO)_{p_2}A$  и  $(MsCO)_{p_3}A$  — 2'(3')-O-мезитоил-ADP ( $R_f$  0,35) и 2'(3')-O-мезитоил-ATP ( $R_f$  0,28), количества которых через 2 ч составляли 18, 25, 39%, через 4 ч — 24, 30 и 56%, через 8 ч — 12, 15 и 37% соответственно. Через 24 ч эти соединения в гидролизатах не обнаружены.

При микроколоночной хроматографии на DEAE-целлюлозе в градиенте концентрации NaCl (0–0,18 М) в 7 М мочевине выделенные из щелочного гидролизата 2'(3')-O-мезитоил-AMP и 2'(3')-O-мезитоил-ATP элюировались при концентрации NaCl 0,08 и 0,14 М, что соответствует AMP и ATP.

Электрофоретические подвижности 2'(3')-O-мезитоил-AMP и 2'(3')-O-мезитоил-ATP равны подвижностям AMP и ATP соответственно.

*Реакции*  $(MsCO)_{p_1-3}A$  с бутиламином проводили, прибавляя к 5 мкмоль (65 ОЕ<sub>260</sub>) смешанных ангидридов, тщательно высущенных многократным упариванием с абсолютным бензolem, по 50 мкмоль (48 мкл) BuNH<sub>2</sub> в 450 мкл абл. DMF. Смеси инкубировали при 37° С, через 0,5; 1, 2, 3 и 5 ч отбирали пробы и анализировали их хроматографией на бумаге и микроколоночной хроматографией.  $R_f$  для (BuNH)<sub>p1</sub>A 0,63, для (BuNH)<sub>p2</sub>A 0,49, для (BuNH)<sub>p3</sub>A 0,36. После кислотного гидролиза (BuNH)<sub>p1-3</sub>A (0,1 н. HCl, 1 ч, 37° С) в гидролизатах обнаруживали AMP, ADP и ATP соответственно.

*Реакции*  $(MsCO)_{p_1-3}A$  с имидазолом в абл. DMF проводили аналогично.  $R_f$  для (Im)<sub>p1</sub>A 0,55, для (Im)<sub>p2</sub>A 0,35, для (Im)<sub>p3</sub>A 0,22. Полученные (Im)<sub>p1-3</sub>A гидролизовались до AMP, ADP и ATP соответственно при pH 3,5 (0,1 М фосфатный буфер) за 3 ч при 37° С.

*Реакции*  $(MsCO)_{p_1-3}A$  с этанолом проводили, прибавляя к 5 мкмоль (65 ОЕ<sub>260</sub>) высущенных смешанных ангидридов по 500 мкл 50% раствора абсолютного этанола в абл. DMF. Смеси инкубировали при 37° С и через 1, 2, 3, 4 и 6 сут отбирали пробы и анализировали, как описано выше. Фос-

Фодиэстераза змеиного яда (КФ 3.1.4.1) в стандартных условиях [10] расщепляет  $(C_2H_5O)p_{1-3}A$  до АМР.

Реакции  $(MsCO)p_{1-3}A$  с водными растворами бутиламина и имидазола проводили аналогично. Результаты анализа реакционных смесей через 3 ч приведены в табл. 1.

**Синтез 2'-(3')-О-мезитоил-АМР** [7]. К раствору 4 мг (0,02 ммоль)  $MsCOOH$  в 0,1 мл абс. DMF добавили 16 мг (0,1 ммоль)  $Im_2CO$ . Через 10 мин этот раствор прибавили к раствору 7 мг (0,02 ммоль) АМР в 0,15 мл смеси DMF вода (2 : 1). Реакционную смесь выдержали 2 ч при 20°С и хроматографировали на бумаге. Выход 2'-(3')-О-мезитоил-АМР 10%,  $R_f$  0,54;  $U_{pa}$  0,95. Аналогично получили 2'-(3')-О-мезитоил-АТР ( $R_f$  0,28).

#### ЛИТЕРАТУРА

1. Козлов И. А., Шаламберидзе М. В., Новикова И. Ю., Соколова Н. И., Шабарова З. А. Биохимия, 1977, т. 42, № 9, с. 1704–1710.
2. Ковалева Г. К., Иванов Л. Л., Мадаян И. А., Фаворова О. О., Северин Е. С., Гуллев Н. Н., Баранова Л. А., Соколова Н. И., Шабарова З. А., Киселев Л. Л. Биохимия, 1978, т. 43, № 3, с. 525–533.
3. Петушкиова Е. В., Рисник В. М., Соколова Н. И., Третьякова С. С., Шабарова З. А. Биохимия, 1980, т. 45, № 4, с. 726–731.
4. Shumyantzeva V. V., Sokolova N. I., Shabarova Z. A. Nucl. Acids Res., 1976, v. 3, № 4, p. 903–916.
5. Drutza V. L., Kozlov I. A., Milgrom Y. M., Sokolova N. I., Shabarova Z. A. Biochem. J., 1979, v. 182, № 2, p. 617–619.
6. Favorova O. O., Madoyan I. A., Drutsa V. L. FEBS Lett., 1981, v. 123, № 2, p. 161–164.
7. Готтих Б. П., Краевский А. А., Пурыгин И. И., Пильевич Т. Л., Белова З. С., Рудзите Л. Н. Изв. АН СССР. Сер. хим., 1967, № 11, с. 2571–2573.
8. Еремин Е. Н. Основы химической кинетики. М.: Высшая школа, 1976, с. 13–20.
- 9 Третьякова С. С., Друца В. Л., Лебедев А. В., Соколова Н. И., Шабарова З. А. Биоорганическая химия, 1978, т. 4, № 3, с. 254–259.
10. McCulchan T. F., Gilham P. T. Biochemistry, 1973, v. 12, № 24, p. 4840–4848.

Поступила в редакцию  
14.IV.1983

#### CHEMICAL PROPERTIES OF NEW AFFINITY REAGENTS — MIXED ANHYDRIDES OF AMP, ADP AND ATP WITH MESITYLENECARBOXYLIC ACID

TRETYAKOVA S. S., SOKOLOVA N. I., SHABAROVA Z. A.

M. V. Lomonosov Moscow State University, Moscow

The hydrolytic stability of the mixed anhydrides of AMP, ADP and ATP with mesitylenecarboxylic acid ( $McCO)p_{1-3}A$  and their reactions with nucleophilic reagents in organic and aqueous media have been studied.  $(MsCO)p_2A$  and  $(MsCO)p_3A$  have displayed a higher, compared to ADP and ATP, electrophilicity not only of the terminal but also of the internal phosphate groups. The data obtained are important for interpretation of the affinity modification of enzymes by  $(MsCO)p_{2,3}A$ .